



# คอลลอยด์อนุภาคนาโนของเงินความเข้มข้นสูงเพื่อการประยุกต์ใช้ระดับอุตสาหกรรม

ภัททวัฒน์ มณีวัฒนกิจโภ, ปาริชาต สุดสุริยะ, วีร พัฒนพิระเดช, เทวรักษ์ ปานกลาง, ชุติพันธ์ เลิศวชิรไพบูลย์,

# សនង កែវសិទ្ធិ, និង ជួលាតិ នគរមេត្តិល

หน่วยปฏิบัติการวิจัยอุปกรณ์รับรู้ ภาควิชาเคมี คณะวิทยาศาสตร์ จุฬาลงกรณ์มหาวิทยาลัย กรุงเทพฯ 10330

โทรศัพท์: 0-2218-7585; Website: [www.sru.research.chula.ac.th](http://www.sru.research.chula.ac.th); E-Mail: Sanong.E@Chula.ac.th

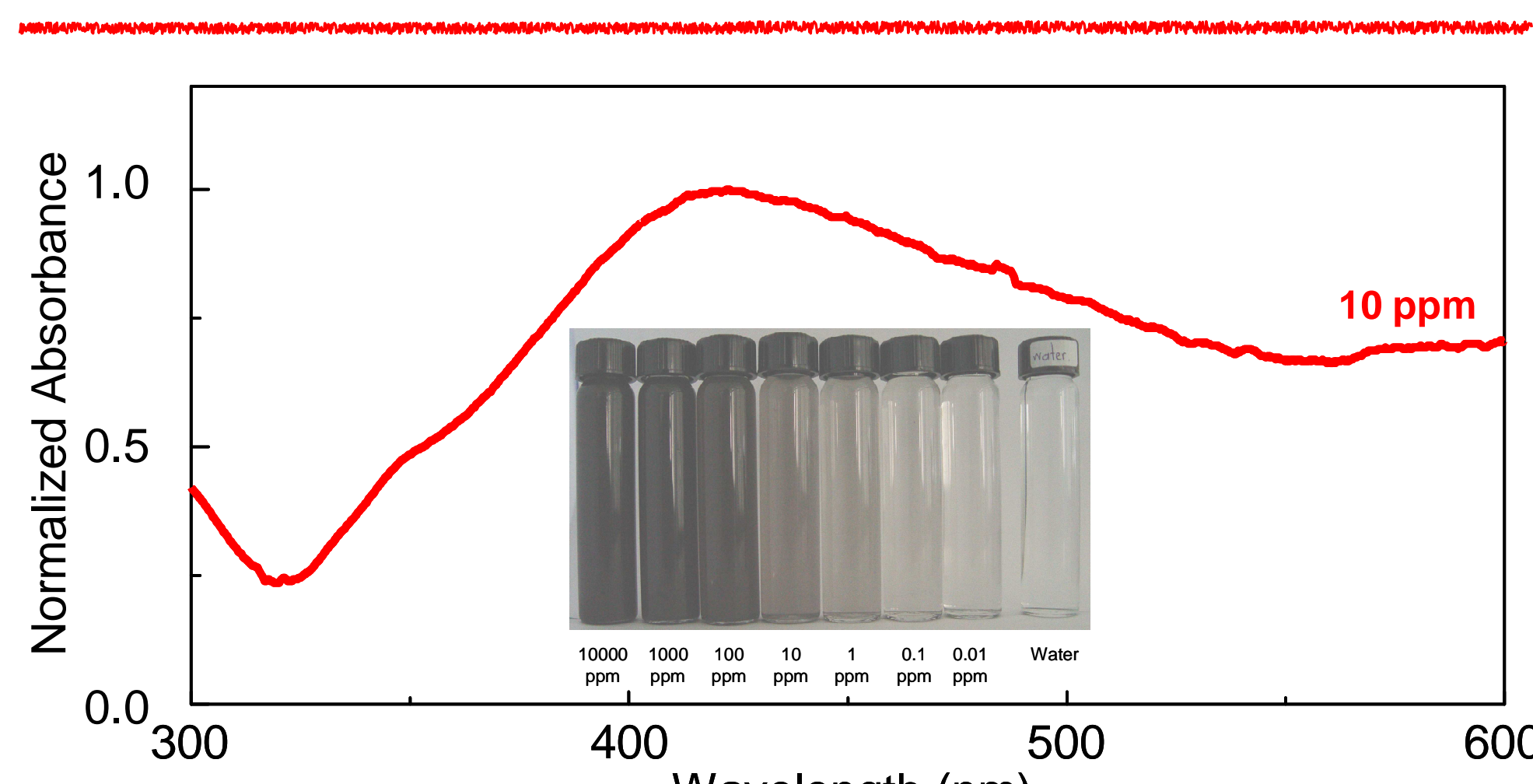
## บทนำ

ในช่วงที่ผ่านมาได้มีการพัฒนาด้านนาโนเทคโนโลยีอย่างต่อเนื่อง อนุภาคนาโนของเงินเป็นหนึ่งในความสนใจและได้มีการศึกษาในแง่มุมที่หลากหลาย เนื่องจากสมบัติที่โดดเด่นของอนุภาคนาโนของเงิน เช่น สมบัติทางไฟฟ้า สมบัติทางแสง การนำความร้อน และการต้านเชื้อแบคทีเรียหลายชนิด โดยไม่ก่อให้เกิดการถ่ายพันธุ์ นอกจากนี้อนุภาคนาโนของเงินยังสามารถนำไปใช้ทำ Sensor เพื่อการวินิจฉัยทางการแพทย์และการตรวจสอบทางเคมีที่หลากหลาย

อนุภาคนาโนของเงิน (Silver Nanoparticle) ที่ใช้ในการผลิตสินค้าของภาคอุตสาหกรรมในประเทศไทยขณะนี้ต้องนำเข้าจากต่างประเทศทั้งสิ้น ทำให้ผลิตภัณฑ์ของไทยไม่สามารถแข่งขันด้านราคา กับสินค้าจากต่างประเทศได้ ได้ นอกจากนั้น อนุภาคนาโนของเงินที่นำเข้าอาจไม่เหมาะสมกับการประยุกต์ใช้งานจริงของอุตสาหกรรมในประเทศไทย หากต้องนำเข้า อนุภาคนาโนของเงิน เพื่อผลิตเป็นสินค้าแล้ว ศักยภาพในการแข่งขันของผลิตภัณฑ์จากประเทศไทยจะลดลง หน่วยปฏิบัติการวิจัยอุปกรณ์รับรู้ ภาควิชาเคมี คณะวิทยาศาสตร์ จุฬาลงกรณ์มหาวิทยาลัย จึงมีแนวคิดที่จะพัฒนาระบบสำหรับการผลิตอนุภาคนาโนของเงินปริมาณมาก มีความเข้มข้นสูง และมีความเสถียรสูง และสามารถปรับเปลี่ยนสมบัติ ต่างๆ ได้ (Custom-Made หรือ Tailor-Made) ตามความต้องการของภาคอุตสาหกรรมและเกษตรกรรมของไทย โดยอนุภาคนาโนของเงินที่เตรียมได้จะอยู่ในรูปของ colloidal ที่มีน้ำตัวกลาง ปัจจุบันมีบริษัทเอกชนของไทยสนใจนำไปพัฒนาต่ออยอด คณะนักวิจัยก็จะก่อตั้งหอดเทคโนโลยีที่พัฒนาขึ้นให้แก่ภาคเอกชน เพื่อการผลิตในเชิงพาณิชย์ต่อไป

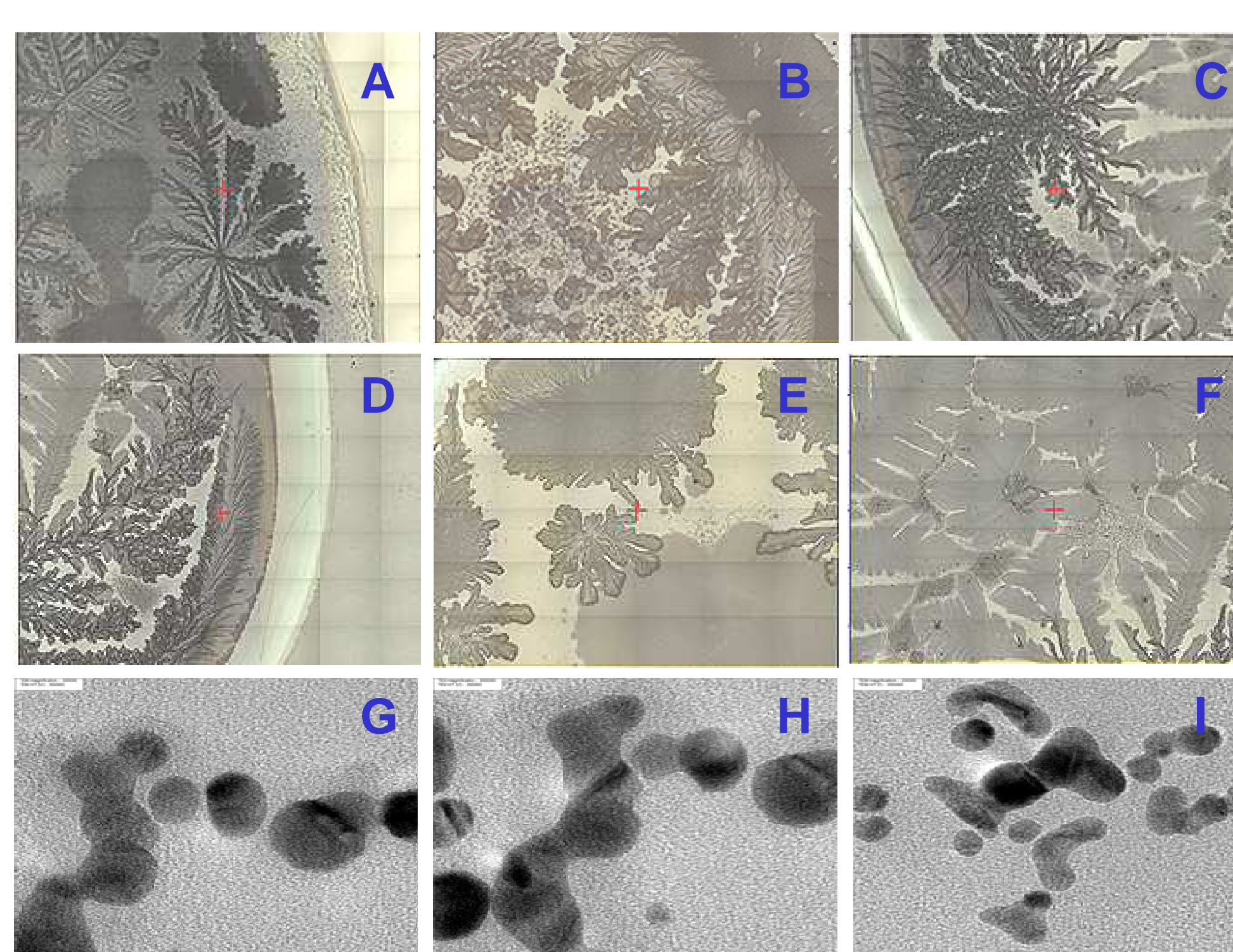
ตารางที่ 1 ระบบการผลิตอนุภาคนาโนของเงินที่พัฒนาขึ้นโดยหน่วยปฏิบัติการวิจัย  
ค่ากostenรับเร็ว ภาควิชาเคมี คณะวิทยาศาสตร์ จامعةกรรณ์มหาวิทยาลัย

5 - 20 nm AgNPs ( $\text{Ag}^0$ ) สีเหลือง: สำหรับการใช้ทั่วไป	Ultrafine AgNPs ( $\text{Ag}^0$ ) ไม่มีสี: สำหรับสิ่งทอ	Cluster of Silver Ion ( $\text{Ag}^+$ ) ไม่มีสี: สำหรับสิ่งทอ
<p>กระบวนการ Chemical Reduction ที่ใช้ตัวทำละลายเป็นน้ำ</p> <p>สารตั้งต้น: เกลือของโลหะเงิน / ตัวเรductive ปฏิกิริยาเกิดที่อุณหภูมิห้อง</p> <p>ไม่มี Chemical Waste</p> <p>สามารถผลิต Un-Protected AgNPs Colloid</p> <p>AgNP Colloid มีความเข้มข้นตั้งแต่ 10-100,000 ppm</p> <p>AgNPs เป็นทรงกลม (5 – 20 nm)</p> <p>AgNPs Colloid มีความเสถียรสูงมาก (มากกว่า 6 เดือน)</p> <p>สามารถขยายกระบวนการผลิตสู่ระดับอุตสาหกรรมได้ไม่ยาก</p> <p>สามารถใช้โลหะเงินที่ทำเป็นเครื่องประดับเป็นอัลลอยได้</p>	<p>กระบวนการ Chemical Reduction ที่ใช้ตัวทำละลายเป็นน้ำ</p> <p>สารตั้งต้น: เกลือของโลหะเงิน / ตัวเรductive ปฏิกิริยาเกิดที่อุณหภูมิห้อง</p> <p>ไม่มี Chemical Waste</p> <p>สามารถผลิต Un-Protected AgNPs Colloid</p> <p>AgNP Colloid มีความเข้มข้นตั้งแต่ 10-100,000 ppm</p> <p>AgNPs เป็นทรงกลม (&lt; 1 nm)</p> <p>สามารถขยายกระบวนการผลิตสู่ระดับอุตสาหกรรมได้ไม่ยาก</p> <p>สามารถใช้โลหะเงินที่ทำเป็นเครื่องประดับเป็นอัลลอยได้</p>	<p>ระบบที่ใช้น้ำเป็นตัวทำละลาย</p> <p>สารตั้งต้น: เกลือของโลหะเงิน / ตัวเรductive อุ่นห้อง</p> <p>Reduction of <math>\text{Ag}^+</math> to <math>\text{Ag}^0</math> Occurs at High Temperature (120 - 150 °C)</p> <p>ไม่มี Chemical Waste</p> <p>สามารถผลิต Un-Protected AgNPs ( มีขนาดอนุภาคในระดับ sub-nanometers ) บนผิวของของแข็งเมื่อให้ความร้อน</p> <p>Cluster ของ Silver Ion (<math>\text{Ag}^+</math>) ที่มีความเข้มข้นถึง 10,000 ppm</p> <p>สามารถขยายกระบวนการผลิตสู่ระดับอุตสาหกรรมได้ไม่ยาก</p> <p>สามารถใช้โลหะเงินที่ทำเป็นเครื่องประดับเป็นอัลลอยได้</p>

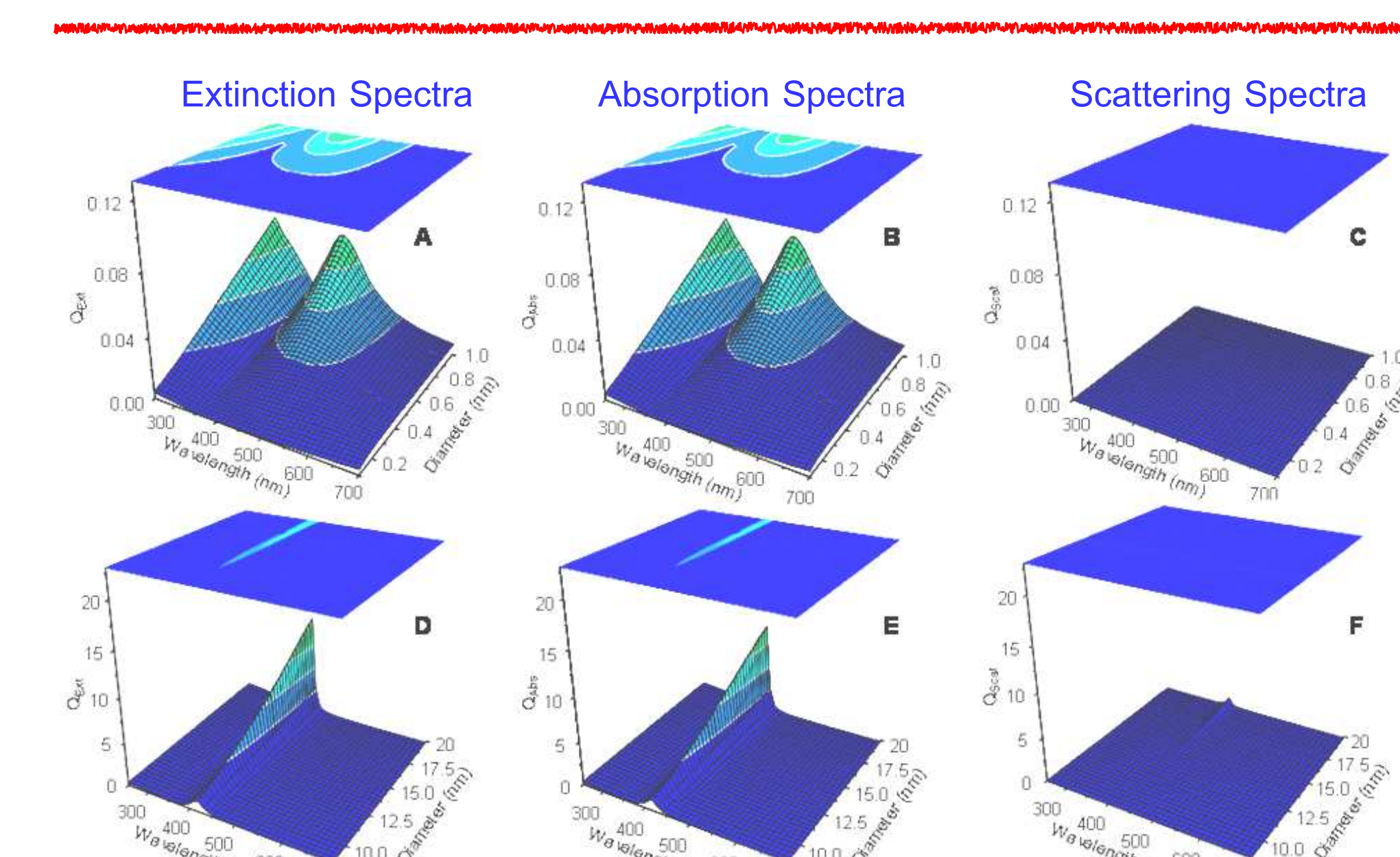


รูปที่ 2 คอลลอยด์น้ำของอนุภาคนาโนของเงินที่มีความเข้มข้นสูงสำหรับการประยุกต์ใช้กับ  
ศิ่งหอตึ่งและห้องเย็นในวิศวกรรมเคมี

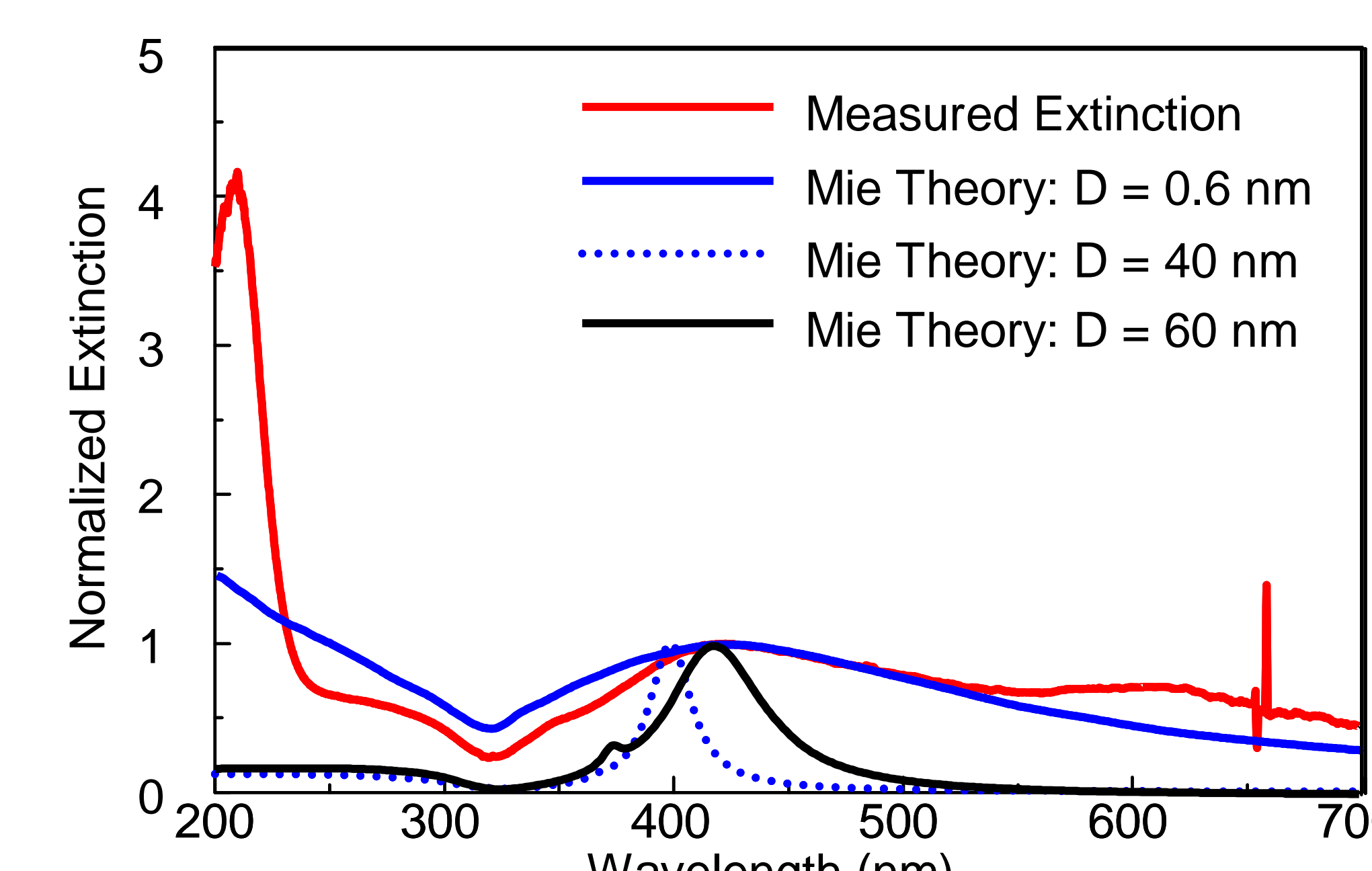
การสังเคราะห์อนุภาคนาโนของเงินเพื่อการพัฒนาเป็น Sensor



**Fig. 2.** The electron micrographs of the *Escherichia coli* K12 MRE600 cells infected with bacteriophage P1 at 1 h post-infection. The infected cells were fixed with 2% glutaraldehyde and 2% paraformaldehyde, and then processed for electron microscopy as described in Materials and Methods. The electron micrographs show the typical cellular ultrastructure of the infected cells. The infected cells contain many small, electron-dense, spherical structures, which are the phage particles. The scale bar indicates 0.5  $\mu\text{m}$ .

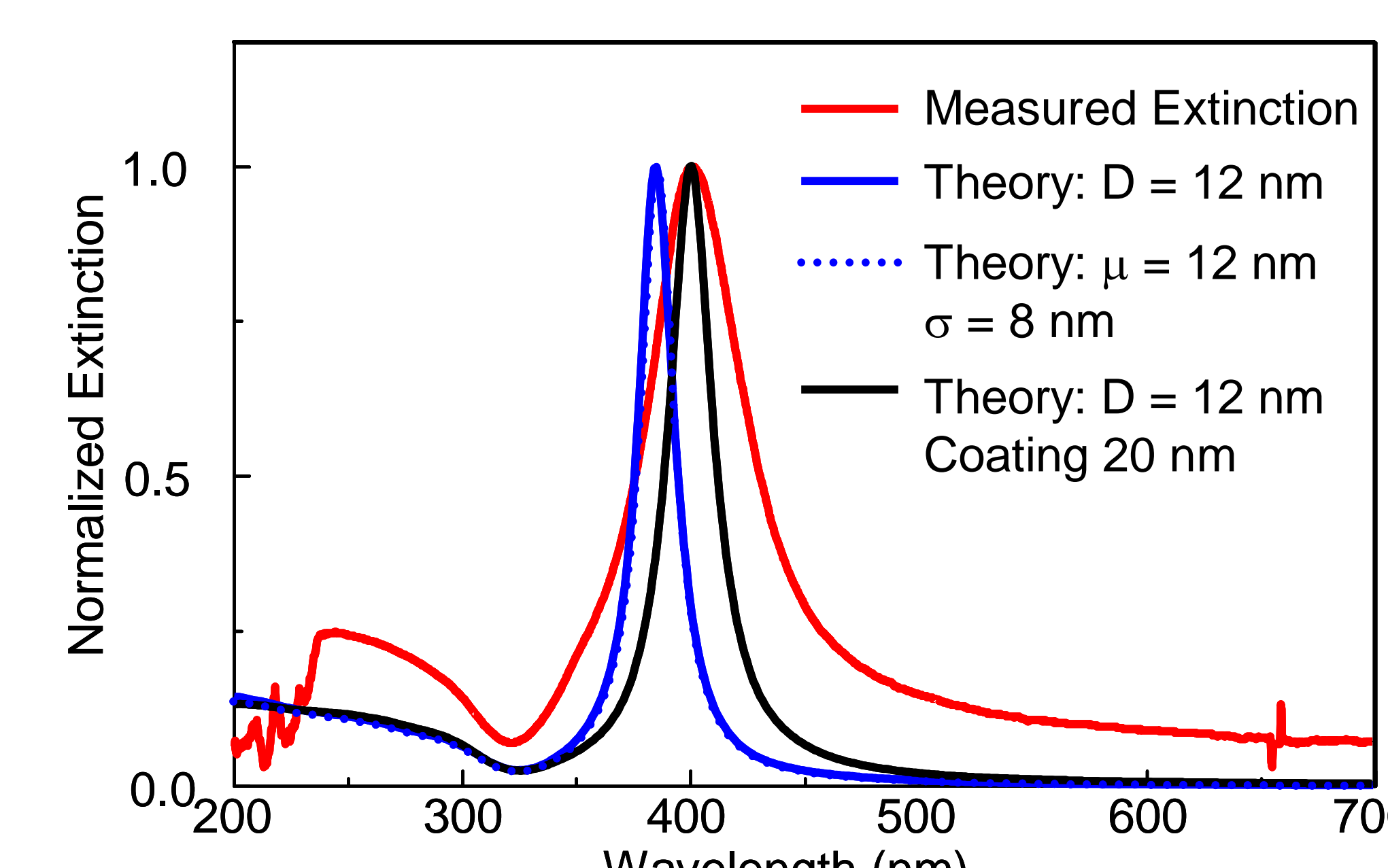


รูปที่ 6 ผลการคำนวณทางทฤษฎีของ Extinction Spectra, Absorption Spectra และ Scattering Spectra ของอนุภาคนาโนของเงินรูปทรงกลมที่แขนงลอดอยอยู่ในน้ำสำหรับอนุภาคนาโนของเงินขนาดน้อยกว่า 1 nm (A, B, และ C) และ 5 – 20 nm (D, E, และ F)



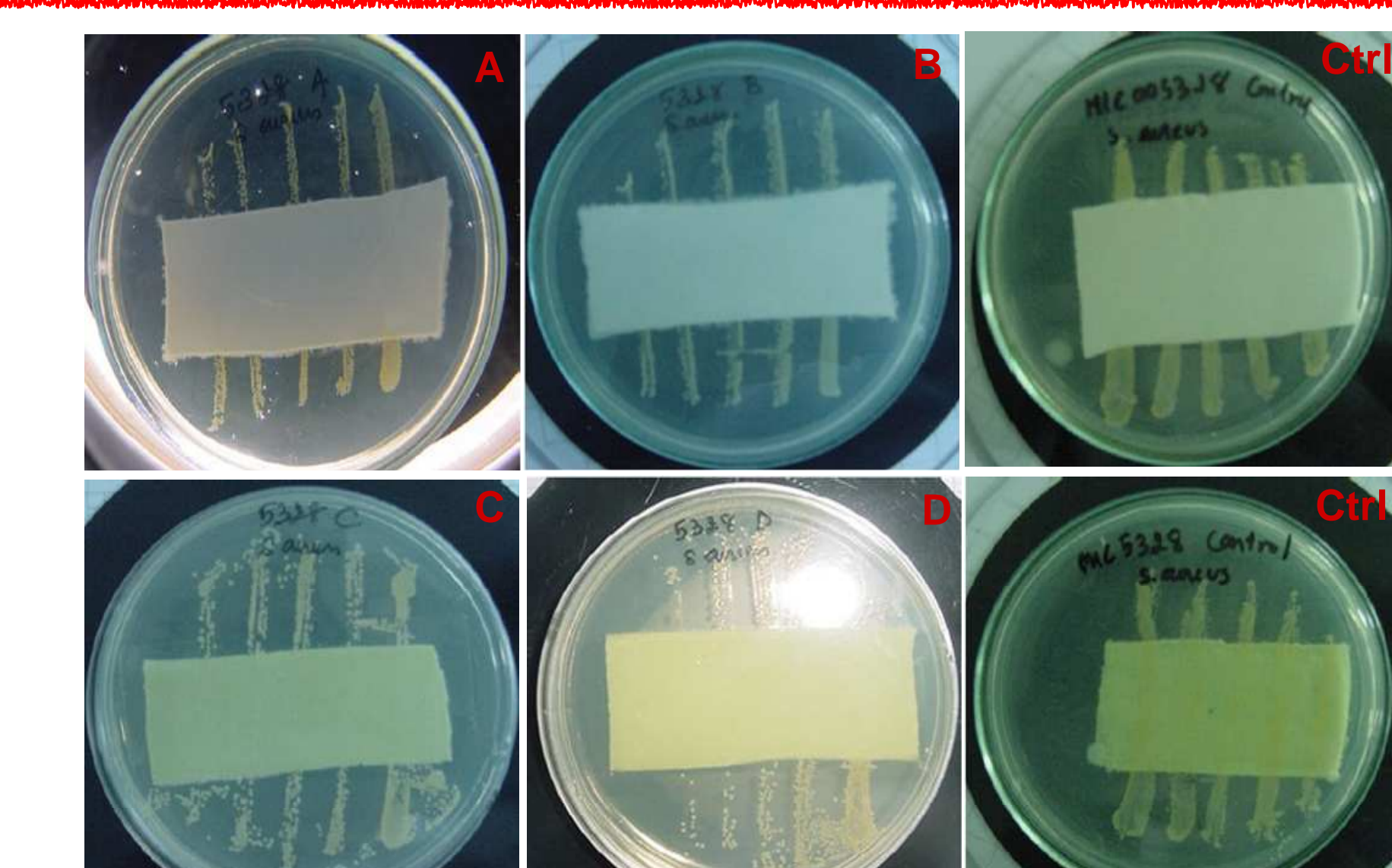
# Waveletengra (III)

## รูปที่ 7 ผลการคำนวณทางทฤษฎีเทียบกับผลที่วัดได้จากการทดลองของ Extinction Spectra สำหรับระบบอนุภาคนาโนของเงินที่มีขนาดเล็กกว่า 1 nm จากทฤษฎีพางร์ขาตคุณภาพที่สังเคราะห์ได้โดยเฉลี่ยคือ 0.6 nm



รูปที่ 8 ผลการคำนวณทางทฤษฎีเทียบกับผลที่วัดได้จากการทดลองของ Extinction Spectra สำหรับ เจ้าหนูเคนากาคูราโน่ เมืองเงินที่ ๕ ขนาด 5 - 20 nm

ผลการทดสอบการยับยั้งแบคทีเรียของน้ำยาในของเสีย



รูปที่ 9 ผลการทดสอบการยับยั้งเชือแบบที่เรียหลังจากการซัก 20 ครั้งของผ้า Polyester และ Cotton ที่มีอนุภาคนาโนของเงิน ผลการทดสอบพบว่าไม่มีการเจริญเติบโตของเชื้อแบคทีเรีย

Maxwell equations in matter	Plasmon oscillation for a sphere	Photonic – Plasmonic Coupling
$\nabla \cdot (\epsilon \vec{E}) = 0$		Absorption Scattering
$\nabla \cdot \vec{B} = 0$		Extinction = Absorption + Scattering
$\nabla \times \vec{H} = -i\omega\epsilon\vec{E}$		
$\nabla \times \vec{E} = i\omega\mu\vec{E}$		
Cross Sections	Mie Theory	Input Parameters
$C_{\text{Ext}} = \frac{2\pi}{k^2} \sum_{n=1}^{\infty} (2n+1) \operatorname{Re}(a_n + b_n)$	Efficiencies	$m = n_1 / n$
$C_{\text{Scat}} = \frac{2\pi}{k^2} \sum_{n=1}^{\infty} (2n+1) ( a_n ^2 +  b_n ^2)$	$Q_{\text{Ext}} = \frac{C_{\text{Ext}}}{\pi R^2}$	$k = 2\pi n / \lambda$
	$Q_{\text{Scat}} = \frac{C_{\text{Scat}}}{\pi R^2}$	$x = kR = 2\pi n R / \lambda$
	$a_n = \frac{m\psi_n(mx)\psi_n'(x) - \psi_n(x)\psi_n'(mx)}{m\psi_n(mx)\xi_n'(x) - \xi_n(x)\psi_n'(mx)}$	
	$b_n = \frac{\psi_n(mx)\psi_n'(x) - m\psi_n(x)\psi_n'(mx)}{m\psi_n(mx)\xi_n'(x) - \xi_n(x)\psi_n'(mx)}$	

รูปที่ 5 ทฤษฎีพื้นฐานของ Localized Surface Plasmon Resonance Spectroscopy  
ที่จะแสดงค่าของค่าคงที่ที่อยู่ในสารเคมีและสารเคมีใน Homogeneous Medium